

В. Н. Брицун, А. Н. Борисевич, А. Н. Есипенко, М. О. Лозинский

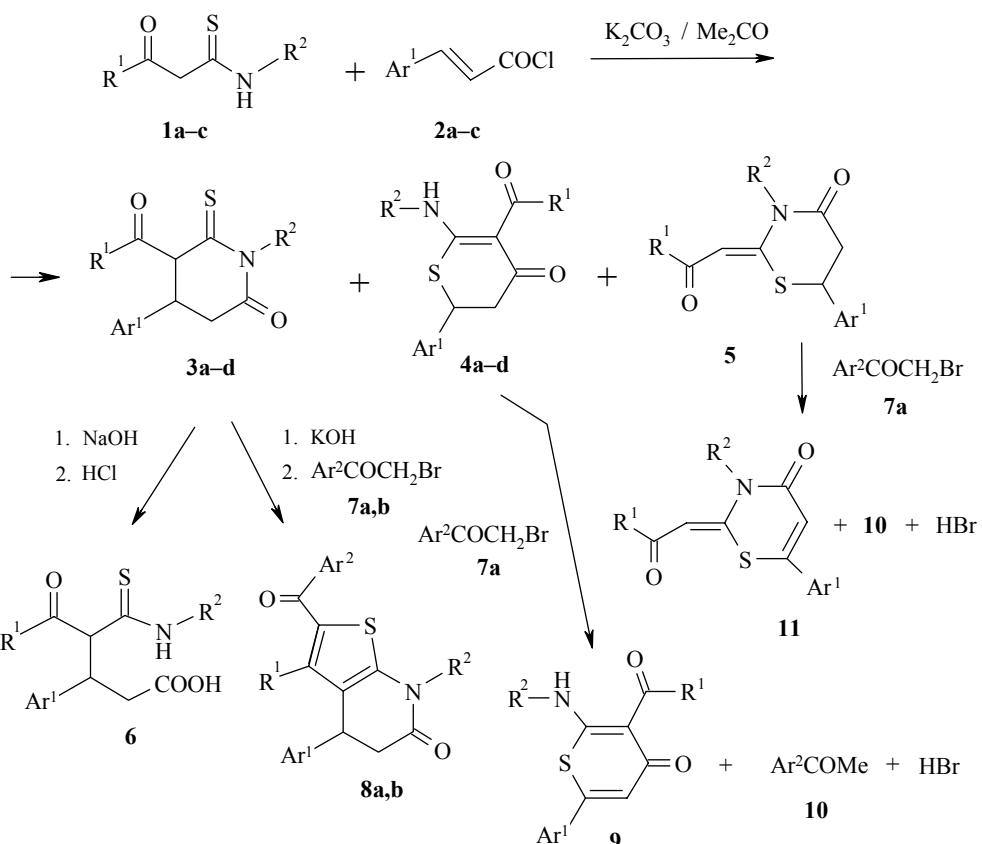
ЦИКЛОАЦИЛИРОВАНИЕ 3-ОКСО-3-R<sup>1</sup>-N-R<sup>2</sup>-ПРОПАНТИОАМИДОВ  
3-АРИЛ-2-ПРОПЕНОИЛХЛОРИДАМИ

Продуктами циклоконденсации 3-оксо-3-R<sup>1</sup>-N-R<sup>2</sup>-пропантиоамидов с 3-арил-2-пропеноилхлоридами в ацетоне в присутствии карбоната калия являются 1-арил(алкил)-4-арил-5-ацил-6-тиоксопиперидин-2-оны, 2-арил-6-арил(алкил)амино-5-ацил-2,3-дигидро-4Н-тиопиран-4-оны и 2-ацетонилиден-3,6-диарил-5,6-дигидро-4Н-1,3-тиазин-4-оны, строение которых доказано как спектральными методами, так и химическими превращениями.

**Ключевые слова:** 3-арил-2-пропеноилхлориды, 1-бромметил-1-арилкетоны, 5,6-дигидро-4Н-1,3-тиазин-4-оны, 2,3-дигидро-4Н-тиопиран-4-оны, 3-оксопропантиоамиды, циклоацилирование.

Ранее нами был разработан общий метод получения конденсированных гетероциклов, содержащих 1,3-тиазиновое кольцо, который основан на реакции азотсодержащих тионов с 3-арил-2-пропеноилхлоридами в пиридине [1–4]. В настоящей работе мы изучили взаимодействие 3-оксо-3-R<sup>1</sup>-N-R<sup>2</sup>-пропантиоамидов **1a–c** с 3-арил-2-пропеноилхлоридами **2a–c**. Так как 3-оксо-3-R<sup>1</sup>-N-R<sup>2</sup>-пропантиоамиды **1a–c** имеют несколько реакционных центров [5, 6], то продуктами этой реакции могут быть 3,4-дигидро-2Н-пиран-2-оны, 4Н-пиран-4-оны, 4Н-1,3-тиазин-4-оны, 6Н-1,3-тиазин-6-оны, 4Н-тиопиран-4-оны, 2Н-тиопиран-2-оны, 4Н-пиперидин-4-оны и 6-тиоксопиперидин-2-оны, что усложняет выделение и идентификацию образующихся соединений.

Оптимальными условиями для протекания реакции является перемешивание раствора 3-оксо-3-R<sup>1</sup>-N-R<sup>2</sup>-пропантиоамидов **1a–c** и 3-арил-2-пропеноилхлоридов **2a–c** в ацетоне в присутствии K<sub>2</sub>CO<sub>3</sub> при 20–50 °C на протяжении 2.5 ч. Продуктами каждой реакции, по данным ТСХ и спектроскопии ЯМР <sup>1</sup>H, является смесь двух соединений, которые имеют одинаковый элементный состав и были разделены путем обработки реакционной массы 5% водным раствором NaOH. Детальный анализ ЯМР <sup>1</sup>H, ЯМР <sup>13</sup>C и ИК спектров продуктов реакции, а также сопоставление этой информации со спектральными данными 4Н-тиопиран-4-онов и 4Н-пиперидин-4-онов, приведенными в работе [7], показал, что в результате взаимодействия образуются 4-арил-1-арил(алкил)-5-ацил-6-тиоксопиперидин-2-оны **3a–d**, 2-арил-6-арил(алкил)амино-5-ацил-2,3-дигидро-4Н-тиопиран-4-оны **4a–d** и 2-ацетонилиден-6-(4-нитрофенил)-3-фенил-5,6-дигидро-4Н-1,3-тиазин-4-он (**5**).



**1a, 3a–c, 4a,b, 5, 8a,b, 9, 11** R<sup>1</sup> = Me; **1b,c, 3d, 4c,d, 6** R<sup>1</sup> = Ph; **1a,c, 3a–c, 4a,b,d, 5, 8a,b, 9–11** R<sup>2</sup> = Ph; **1b, 3d, 4c, 6** R<sup>2</sup> = Me; **2a**, **3a,d, 4a,c,d, 6, 8a, 9** Ar<sup>1</sup> = Ph;  
**2b–4b** Ar<sup>1</sup> = p-ClC<sub>6</sub>H<sub>4</sub>; **2c, 3c, 5, 8b, 11** Ar<sup>1</sup> = p-O<sub>2</sub>NC<sub>6</sub>H<sub>4</sub>;  
**7b, 8a** Ar<sup>2</sup> = p-FC<sub>6</sub>H<sub>4</sub>; **7a, 8b, 10** Ar<sup>2</sup> = Ph

Тип гетероциклов, их соотношение и выход зависят от природы заместителей R<sup>1</sup>, R<sup>2</sup> и Ar<sup>1</sup> в исходных 3-оксо-3-R<sup>1</sup>-N-R<sup>2</sup>-пропантиоамидах **1a–c** и 3-арил-2-пропеноилхлоридах **2a–c**. Ацилирование 3-оксо-N-фенилбутантиоамида **1a** 3-фенил-2-пропеноилхлоридом (**2a**) и 3-(4-хлорфенил)-2-пропеноилхлоридом (**2b**) приводит к образованию 6-тиоксопиридин-2-онов **3a,b** и 4Н-тиопиран-4-онов **4a,b** в соотношении 1 : 1, продуктами конденсации тиоамида **1a** с 3-(4-нитрофенил)-2-пропеноилхлоридом **2c** являются 6-тиоксопиридин-2-он **3c** и 4Н-1,3-тиазин-4-он **5** также в эквимолярном соотношении.

При реакции соединения **2a** с 3-оксо-3-фенил-N-метилпропантиоамидом (**1b**) получаются 6-тиоксопиридин-2-он **3d** и 4Н-тиопиран-4-он **4c** в соотношении 1.8:1, а при взаимодействии **2a** с 3-оксо-3,N-дифенилпропантиоамидом (**1c**) образуется только 4Н-тиопиран-4-он **4d**. Следует отметить, что амидная связь 6-тиоксопиридин-2-онов **3a–d** (на примере соединения **3d**) в водном растворе NaOH при повышенной температуре легко гидролизуется. При этом образуется натриевая соль соответствующей карбоновой кислоты, из которой действием HCl была выделена в индивидуальном виде 4-бензоил-5-метиламино-5-тиоксо-3-фенилпентановая кислота (**6**) (табл. 1 и 2).

В спектрах ЯМР  $^1\text{H}$  характеристическими являются сигналы протонов групп OH(SH) 6-тиоксопиридин-2-онов **3a–d** ( $\delta$  15.79–16.14 м. д.), протонов групп NH 4Н-тиопиран-4-онов **4a–d** ( $\delta$  12.1–14.26 м. д.), протона группы O=C–CH= 1,3-тиазин-4-она **5** ( $\delta$  5.38 м. д.). В ИК спектрах характеристическими являются полосы поглощения карбонильной группы O=C–N 6-тиоксопиридин-2-онов **3a–d** ( $\nu$  1720), полосы группы O=C–C 4Н-тиопиран-4-онов **4a–d** ( $\nu$  1640–1650), полосы группы O=C–CH= ( $\nu$  1660) и O=C–N ( $\nu$  1730  $\text{cm}^{-1}$ ) 1,3-тиазин-4-она **5**. Сдвиг сигналов протонов групп NH 4Н-тиопиран-4-онов **4a–d** в область слабого поля ( $\delta$  12.15–14.26 м. д.) объясняется существованием внутримолекулярной водородной связи NH $\cdots$ O=C [7]. Так как 6-тиоксопиридин-2-оны **3a–d** являются  $\beta$ -тиоксо-карбонильными соединениями, то они, как известно [8], могут существовать в кетонной, енольной и ентиольной формах, причем две последние, по всей видимости, стабилизированы внутримолекулярной водородной связью. Вероятно, в растворе между этими таутомерными формами существует динамическое равновесие, а синглетные сигналы в области весьма слабого поля ( $\delta$  15.79–16.14 м. д.) являются усредненными сигналами протонов хелатных групп OH енольной и SH ентиольной форм **3a–d**.

С целью подтверждения строения гетероциклов **3a–d**, **4a–d** и **5** химическим путем нами были изучены их реакции с 1-бромметил-1-арилкетонами. Продуктами взаимодействия 6-тиоксопиридин-2-онов **3a,c** с 1-бромметил-1-арилкетонами **7a,b** являются 2-ароил-3-метил-4,7-диарил-4,5-дигидро-6Н-тиено[2,3-*b*]пиридин-6-оны **8a,b**, причем эти соединения были получены с препаративными выходами (76–80%). Мы планировали также провести рециклизации тиопиранового и тиазинового цикла в тиазольный цикл действием 1-бромметил-1-фенилкетона, как это нам удалось сделать в работе [9]. Однако выяснилось, что при сплавлении 4Н-тиопиран-4-она **4a** и соединения **5** с фенацилбромидом **7a** при 150 °C происходит не рециклизация, а дегидрирование соединений **4a** и **5** с образованием более устойчивых ароматических гетероциклов – соответственно 3-ацетил-6-фенил-2-фениламино-4Н-тиопиран-4-она (**9**) и 2-ацетонилиден-6-(4-нитрофенил)-3-фенил-2Н-1,3-тиазин-4-она (**11**).

Так как возле двойной связи CH=(C-2) 1,3-тиазин-4-оны **5** и **11** содержатся различные заместители, то эти соединения могут существовать в *E*- и *Z*-формах. Ранее нами было проведено рентгеноструктурное исследование 2-ацетонилиден-3,4-дифенил-2,3-дигидротиазола, близкого по строению к соединениям **5** и **11**, и было установлено, что это соединение является *Z*-изомером вследствие стерических условий [10]. Поэтому с высокой долей вероятности можно полагать, что 1,3-тиазин-4-оны **5** и **11** также являются *Z*-изомерами.

Полученные результаты циклоацилирования 3-оксо-3- $\text{R}^1\text{-N-R}^2$ -пропантиоамидов **1a–c**, вероятно, объясняются тем, что тиоамиды **1a–c** в присутствии  $\text{K}_2\text{CO}_3$  могут ацилироваться 3-арил-2-пропеноилхлоридами **2a–c** как по группе NH, так и по месту наибольшей нуклеофильности – активной метиленовой группе. Вероятно, в первом случае образуется промежуточный амид, который может превращаться, в зависимости от природы

заместителя в фенильном кольце и электронной плотности на атоме C-3 3-арил-2-пропеноильного заместителя, либо в 6-тиоксопиридин-2-оны

**3a–d**, либо в 4Н-1,3-тиазин-4-он **5**. Во втором случае, возможно, получается продукт С-ацилирования, внутримолекулярная циклизация которого приводит к 4Н-тиопиран-4-онам **4a–d**.

Т а б л и ц а 1  
Характеристики синтезированных соединений

Соединение	Брутто-формула	<u>Найдено, %</u>			Т. пл., °C	Выход, %
		C	H	N		
<b>3a</b>	C <sub>19</sub> H <sub>17</sub> NO <sub>2</sub> S	70.35 70.56	5.28 5.30	4.49 4.33	153–154	44
<b>3b</b>	C <sub>19</sub> H <sub>16</sub> ClNO <sub>2</sub> S	63.52 63.77	4.27 4.51	4.20 3.91	158–160	39
<b>3c</b>	C <sub>19</sub> H <sub>16</sub> N <sub>2</sub> O <sub>4</sub> S	61.73 61.95	4.49 4.38	7.39 7.60	182–184	43
<b>3d</b>	C <sub>19</sub> H <sub>17</sub> NO <sub>2</sub> S	70.70 70.56	5.09 5.30	4.49 4.33	147–149	50
<b>4a</b>	C <sub>19</sub> H <sub>17</sub> NO <sub>2</sub> S	70.68 70.56	5.11 5.30	4.52 4.33	140–142 (145–146 [7])	40
<b>4b</b>	C <sub>19</sub> H <sub>16</sub> ClNO <sub>2</sub> S	63.59 63.77	4.30 4.51	4.09 3.91	157–159	41
<b>4c</b>	C <sub>19</sub> H <sub>17</sub> NO <sub>2</sub> S	70.74 70.56	5.42 5.30	4.46 4.33	136–138	28
<b>4d</b>	C <sub>24</sub> H <sub>19</sub> NO <sub>2</sub> S	75.03 74.78	4.98 4.97	3.74 3.63	180–183	72
<b>5</b>	C <sub>19</sub> H <sub>16</sub> N <sub>2</sub> O <sub>4</sub> S	62.13 61.95	4.62 4.38	7.84 7.60	185–187	46
<b>6</b>	C <sub>19</sub> H <sub>19</sub> NO <sub>3</sub> S	66.99 66.84	5.70 5.61	4.35 4.10	240–243	72
<b>8a</b>	C <sub>27</sub> H <sub>20</sub> FNO <sub>2</sub> S	73.62 73.45	4.61 4.57	3.03 3.17	229–231	80
<b>8b</b>	C <sub>27</sub> H <sub>20</sub> N <sub>2</sub> O <sub>4</sub> S	68.93 69.22	4.21 4.30	6.13 5.98	237–239	76
<b>9</b>	C <sub>19</sub> H <sub>15</sub> NO <sub>2</sub> S	70.82 71.01	4.58 4.70	4.21 4.36	225–227	51
<b>10</b>	C <sub>8</sub> H <sub>8</sub> O	80.24 79.97	6.93 6.71	—	15–17 (20–20.5 [11])	42
<b>11</b>	C <sub>19</sub> H <sub>14</sub> N <sub>2</sub> O <sub>4</sub> S	62.55 62.29	3.72 3.85	7.86 7.65	245–247	45

Таблица 2  
ИК и ЯМР  $^1\text{H}$  спектры синтезированных соединений

Соединение	ИК спектр, $\nu$ , см $^{-1}$	Спектр ЯМР $^1\text{H}$ , $\delta$ , м. д. ( $J$ , Гц)
<b>3a*</b>	3400, 3000, 1720 (C=O), 1560, 1500, 1460, 1420, 1330	2.17 (3H, с, $\text{CH}_3\text{C}=\text{O}$ ); 2.96 (1H, м, H-3); 3.34 (1H, м, H-3); 4.42 (1H, м, H-4); 6.83 (1H, уш. с, $\text{H}_{\text{Ar}}$ ); 7.15–7.41 (9H, м, $\text{H}_{\text{Ar}}$ ); 16.09 (1H, с, OH)
<b>3b</b>	3400, 3000, 1720 (C=O), 1600, 1570, 1500, 1420	2.16 (3H, с, $\text{CH}_3\text{C}=\text{O}$ ); 2.90 (1H, м, H-3); 3.30 (1H, м, H-3); 4.43 (1H, м, H-4); 6.86 (1H, уш. с, $\text{H}_{\text{Ar}}$ ); 7.15 (1H, уш. с, $\text{H}_{\text{Ar}}$ ); 7.30 (2H, д, $J$ = 9.0, $\text{H}_{\text{Ar}}$ ); 7.40–7.45 (5H, м, $\text{H}_{\text{Ar}}$ ); 16.10 (1H, с, OH)
<b>3c</b>	3400, 3000, 1720 (C=O), 1610, 1580, 1530, 1470, 1420	2.17 (3H, с, $\text{CH}_3\text{C}=\text{O}$ ); 3.00 (1H, м, H-3); 3.45 (1H, м, H-3); 4.63 (1H, м, H-4); 6.93 (1H, уш. с, $\text{H}_{\text{Ar}}$ ); 7.16 (1H, уш. с, $\text{H}_{\text{Ar}}$ ); 7.39 (3H, м, $\text{H}_{\text{Ar}}$ ); 7.57 (2H, д, $J$ = 7.3, $\text{H}_{\text{Ar}}$ ); 8.27 (2H, д, $J$ = 7.3, $\text{H}_{\text{Ar}}$ ); 16.14 (1H, с, OH)
<b>3d</b>	3400, 3000, 1720 (C=O), 1610, 1570, 1500, 1460	2.98 (2H, м, H-3); 3.59 (3H, с, $\text{CH}_3\text{N}$ ); 4.07 (1H, м, H-4); 7.05–7.57 (10H, м, $\text{H}_{\text{Ar}}$ ); 15.79 (1H, с, OH)
<b>4a**</b>	—	2.50 (3H, с, $\text{CH}_3\text{C}=\text{O}$ ); 2.86 (1H, м, H-3); 3.27 (1H, м, H-3); 4.84 (1H, м, H-2); 7.30–7.52 (10H, м, $\text{H}_{\text{Ar}}$ ); 14.13 (1H, с, NH)
<b>4b</b>	3000, 1650, 1590, 1530, 1500, 1470, 1420, 1390	2.51 (3H, с, $\text{CH}_3\text{C}=\text{O}$ ); 2.82 (1H, м, H-3); 3.21 (1H, м, H-3); 4.86 (1H, м, H-2); 7.05–7.58 (9H, м, $\text{H}_{\text{Ar}}$ ); 14.26 (1H, с, NH)
<b>4c</b>	3100, 1645, 1560, 1440, 1380	2.79 (1H, м, H-3); 3.09 (3H, д, $J$ = 3.4, $\text{CH}_3\text{NH}$ ); 3.25 (1H, м, H-3); 4.48 (1H, м, H-2); 7.25–7.61 (10H, м, $\text{H}_{\text{Ar}}$ ); 13.90 (1H, уш. с, NH)
<b>4d</b>	3050, 1650, 1610, 1540, 1470	2.82 (1H, м, H-3); 3.04 (1H, м, H-3); 5.12 (1H, м, H-2); 7.03–7.60 (15H, м, $\text{H}_{\text{Ar}}$ ); 12.15 (1H, уш. с, NH)
<b>5</b>	3100, 1730, 1660, 1610, 1530, 1470, 1360	1.94 (3H, с, $\text{CH}_3\text{C}=\text{O}$ ); 3.35 (1H, м, H-5); 3.58 (1H, м, H-5); 4.65 (1H, м, H-6); 5.38 (1H, с, CH=); 7.43–7.62 (7H, м, $\text{H}_{\text{Ar}}$ ); 8.20 (2H, д, $J$ = 8.4, $\text{H}_{\text{Ar}}$ )
<b>6</b>	3000, 1720, 1680, 1610, 1560, 1470, 1430	3.03 (3H, д, $J$ = 4.0, $\text{CH}_3\text{NH}$ ); 3.60 (2H, м, H-2); 4.01 (1H, м, H-3); 5.31 (1H, д, $J$ = 11.2, H-4); 7.06–7.51 (8H, м, $\text{H}_{\text{Ar}}$ ); 7.80 (2H, м, $\text{H}_{\text{Ar}}$ ); 10.62 (1H, кв, $J$ = 4.0, $\text{CH}_3\text{NH}$ ); 12.01 (1H, уш. с, COOH)
<b>8a</b>	3000, 1700, 1630, 1610, 1570, 1410	2.16 (3H, с, 3-CH <sub>3</sub> ); 2.84 (1H, м, H-5); 3.49 (1H, м, H-5); 4.47 (1H, м, H-4); 7.24–7.68 (14H, м, $\text{H}_{\text{Ar}}$ )
<b>8b</b>	3000, 1710, 1630, 1610, 1540, 1500	2.15 (3H, с, 3-CH <sub>3</sub> ); 2.87 (1H, м, H-5); 3.54 (1H, м, H-5); 4.70 (1H, м, H-4); 7.31–7.63 (12H, м, $\text{H}_{\text{Ar}}$ ); 8.24 (2H, д, $J$ = 8.6, $\text{H}_{\text{Ar}}$ )
<b>9</b>	3100, 1680, 1630, 1580, 1430, 1200	2.52 (3H, с, $\text{CH}_3\text{C}=\text{O}$ ); 7.32–7.54 (10H, м, $\text{H}_{\text{Ar}}$ ); 7.71 (1H, с, H-5); 12.56 (1H, с, NH)
<b>11</b>	3000, 1720, 1670, 1600, 1550, 1500	2.10 (3H, с, $\text{CH}_3\text{C}=\text{O}$ ); 5.70 (1H, с, CH=); 7.40 (2H, м, $\text{H}_{\text{Ar}}$ ); 7.61 (3H, м, $\text{H}_{\text{Ar}}$ ); 7.81 (1H, с, H-5); 7.93 (2H, д, $J$ = 8.4, $\text{H}_{\text{Ar}}$ ); 8.41 (2H, д, $J$ = 8.4, $\text{H}_{\text{Ar}}$ )

\* Спектр ЯМР  $^{13}\text{C}$  соединения **3a** (75 МГц,  $\text{CDCl}_3$ ),  $\delta$ , м. д.: 22.1 ( $\text{CH}_3$ ), 38.1 (C-4), 39.6 (C-3), 109.8 (C-6), 126.6, 127.7, 128.5, 128.8, 129.1, 129.8, 138.5, 139.8 ( $\text{C}_{\text{Ar}}$ ), 167.8 (C-2), 180.5 (C-5), 194.3 (C=O).

\*\* Спектры ЯМР  $^1\text{H}$  и  $^{13}\text{C}$  соединения **4a** в  $\text{CDCl}_3$ , а также ИК спектр соответствуют описанным в работе [7].

## ЭКСПЕРИМЕНТАЛЬНАЯ ЧАСТЬ

Спектры ЯМР  $^1\text{H}$  записаны на приборе Varian-300 (300 МГц) в  $\text{ДМСО-d}_6$ , внутренний стандарт ТМС. ИК спектры сняты на приборе UR-20 в таблетках KBr.

**4-Арил-1-арил(алкил)-5-ацил-6-тиоксопиридин-2-оны 3a–d, 2-арил-6-арил(алкил)амино-5-ацил-2,3-дигидро-4Н-тиопиран-4-оны 4a–d и 2-ацетонилиден-6-(4-нитрофенил)-3-фенил-5,6-дигидро-4Н-1,3-тиазин-4-он (5).** К раствору 10 ммоль 3-оксо-3-R<sup>1</sup>-N-R<sup>2</sup>-пропантиоамида 1a–c в 5 мл безводного ацетона, содержащего 15 ммоль суспендированного сухого  $\text{K}_2\text{CO}_3$ , при энергичном перемешивании при 20 °C добавляют раствор 10 ммоль 3-арил-2-пропеноилхлорида 2a–c в 3 мл ацетона. Перемешивают 2 ч при 20 °C, 0.5 ч при 50 °C, охлаждают и фильтруют реакционную массу от суспензии гидрокарбоната и хлорида калия. Фильтрат упаривают, кристаллический остаток растирают с 10 мл 5% водного раствора NaOH при 20 °C. Нерастворившийся в щелочном растворе 4Н-тиопиран-4-он 4a–d [1,3-тиазин-4-он (5)] отфильтровывают, сушат на воздухе и перекристаллизовывают из этанола. Щелочной фильтрат, содержащий натриевую соль 6-тиоксопиридин-2-она, подкисляют 20% водным раствором HCl, выпавший в осадок продукт реакции 3a–d отфильтровывают, сушат и перекристаллизовывают из этанола.

**4-Бензоил-5-метиламино-5-тиоксопентановая кислота (6).** Раствор 5 ммоль 5-бензоил-1-метил-6-тиоксо-4-фенилпиперидин-2-она (3d) и 15 ммоль NaOH в 5 мл воды выдерживают 10 мин при 60 °C, охлаждают и подкисляют 10% водной HCl. Выпавший в осадок продукт 6 отфильтровывают, сушат и перекристаллизовывают из уксусной кислоты.

**4,7-Диарил-2-ароил-3-метил-4,5-дигидро-6Н-тиено[2,3-b]пиридин-6-оны 8a,b.** К раствору 5 ммоль 1,4-диарил-5-ацил-6-тиоксопиридин-2-она 3a,c и 5 ммоль KOH в 3 мл этанола при 20 °C добавляют 5 ммоль 1-арил-1-бромметилкетона 7a,b, выдерживают 0.5 ч при 20 °C, 10 мин при 78 °C и охлаждают. Реакционную массу разбавляют 10 мл холодной воды, выпавший в осадок продукт реакции 8a,b отфильтровывают, сушат и перекристаллизовывают из уксусной кислоты.

**3-Ацетил-6-фенил-2-фениламино-4Н-тиопиран-4-он (9) и 2-ацетонилиден-6-(4-нитрофенил)-3-фенил-2Н-1,3-тиазин-4-он (11).** Смесь 5 ммоль 4Н-тиопиран-4-она (4a) [4Н-1,3-тиазин-4-она (5)] и 5 ммоль 1-бромметил-1-фенилкетона (7a) выдерживают 5 мин при температуре 150 °C, охлаждают, растирают с 3 мл этанола, кипятят 5 мин, охлаждают, отфильтровывают 4Н-тиопиран-4-он (9) (2Н-1,3-тиазин-4-он 11), сушат и перекристаллизовывают из уксусной кислоты. Этанольный раствор упаривают, и полученное масло экстрагируют горячим гексаном ( $3 \times 5$  мл). Гексан упаривают и ацетофенон (10) перегоняют в вакууме водоструйного насоса.

## СПИСОК ЛИТЕРАТУРЫ

1. В. Н. Брицен, М. О. Лозинский, *XГС*, 853 (2001).
2. В. Н. Брицен, А. Н. Есипенко, М. О. Лозинский, *XГС*, 856 (2002).
3. В. Н. Брицен, М. О. Лозинский, *XГС*, 1103 (2003).
4. В. Н. Брицен, М. О. Лозинский, *XГС*, 1256 (2004).
5. T. Nishio, *Helv. Chim. Acta*, **81**, 1207 (1998).
6. J. L. Missio, H. S. Braibante, M. E. Braibante, *J. Heterocycl. Chem.*, **33**, 1243 (1996).
7. J. Becher, H. Nissen, K. S. Varma, *Liebigs Ann. Chem.*, **6**, 1109 (1986).
8. F. Duus, *J. Am. Chem. Soc.*, **108**, 630 (1986).
9. В. Н. Брицен, А. Н. Есипенко, М. О. Лозинский, *XГС*, 905 (2006).
10. А. Н. Борисевич, Л. С. Самойленко, М. О. Лозинский, Э. Б. Рusanov, А. Н. Чернега, *ЖХХ*, **71**, 1866 (2001).
11. *Beil.*, **7**, 271 (1925).

Институт органической химии НАН Украины,  
Киев 02094  
e-mail: iochkiev@ukrpack.net

Поступило в редакцию 21.01.2005